

CONECTOR TODO ROSCA DE CABEZA CILÍNDRICA

REVESTIMIENTO C4 EVO

Revestimiento multicapa con tratamiento superficial a base de resina epóxica y hojuelas de aluminio. Ausencia de herrumbre tras la prueba de 1440 horas de exposición en niebla salina según ISO 9227. Utilizable en exteriores en clase de servicio 3 y en clase de corrosividad atmosférica C4.

MADERA TRATADA EN AUTOCLAVE

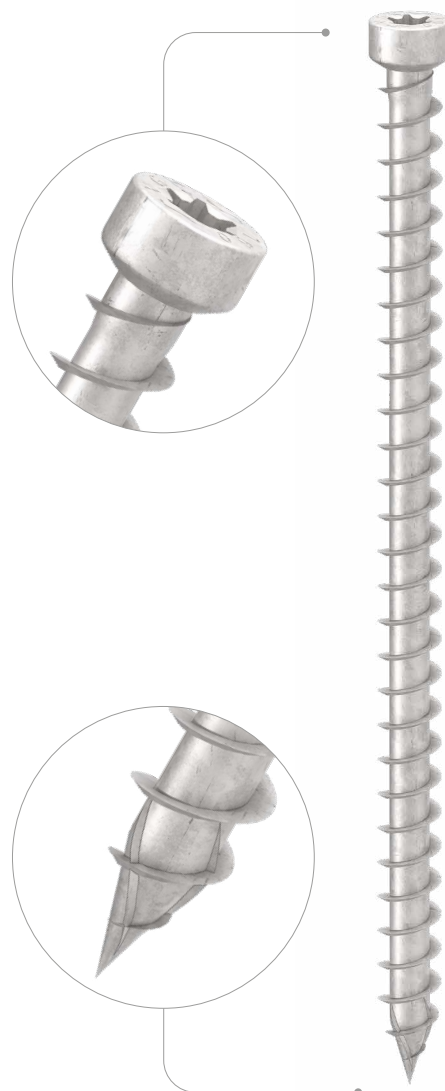
El revestimiento C4 EVO ha sido certificado según el criterio de aceptación estadounidense AC257 para uso en exteriores con madera tratada de tipo ACQ.

APLICACIONES ESTRUCTURALES

Roscado profundo y acero de alta resistencia ($f_{y,k} = 1000 \text{ N/mm}^2$) para alto rendimiento a la tracción. Homologado para aplicaciones estructurales con solicitaciones en cualquier dirección con respecto a la fibra ($0^\circ - 90^\circ$). Distancias mínimas reducidas.

CABEZA CILÍNDRICA

Permite que el tornillo penetre y supere la superficie de la capa de madera. Ideal para uniones ocultas, acoplamientos de madera y refuerzos estructurales. Es la elección adecuada para mejorar las prestaciones de resistencia al fuego.



DIÁMETRO [mm]	5 (5) 11 11
LONGITUD [mm]	80 (80) 600 1000
CLASE DE SERVICIO	SC1 SC2 SC3
CORROSIVIDAD ATMOSFÉRICA	C1 C2 C3 C4
CORROSIVIDAD DE LA MADERA	T1 T2 T3
MATERIAL	C4 EVO COATING acero al carbono con revestimiento C4 EVO



CAMPOS DE APLICACIÓN

- paneles de madera
- madera maciza y laminada
- CLT y LVL
- maderas de alta densidad
- maderas tratadas ACQ y CCA



TRUSS & RAFTER JOINTS

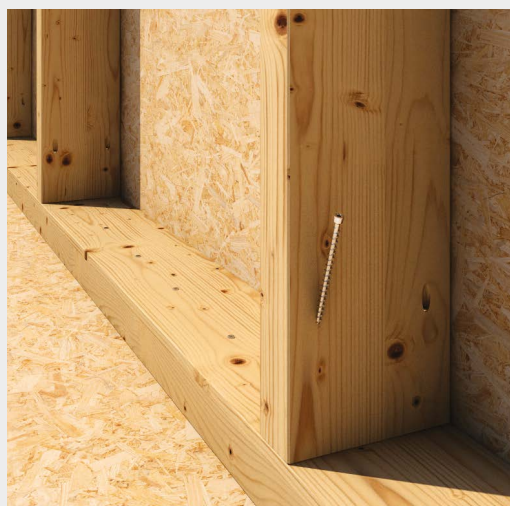
Ideales en las uniones entre elementos de madera de sección pequeña, como los travesaños y los montantes de las estructuras con entramado ligero. Certificado para aplicaciones en dirección paralela a la fibra y con distancias mínimas reducidas.

TIMBER STUDS

Valores ensayados, certificados y calculados también para CLT y maderas de alta densidad como la madera microlaminada LVL. Ideal para la fijación de vigas I-Joist.

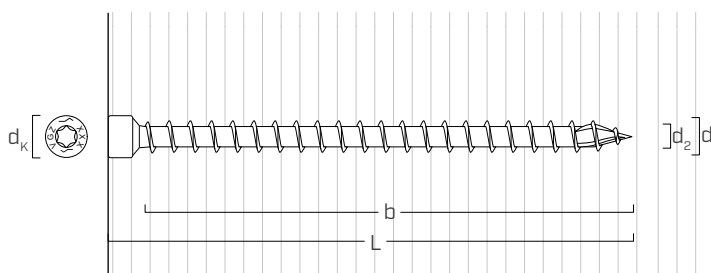


^
Fijación de vigas de madera en ambiente externo.



^
Fijación de los montantes de estructuras de entramado ligero con VGZ EVO Ø5 mm.

■ GEOMETRÍA Y CARACTERÍSTICAS MECÁNICAS



GEOMETRÍA

Diámetro nominal	d_1	[mm]	5,3	5,6	7	9	11
Diámetro cabeza	d_k	[mm]	8,00	8,00	9,50	11,50	13,50
Diámetro núcleo	d_2	[mm]	3,60	3,80	4,60	5,90	6,60
Diámetro pre-agujero ⁽¹⁾	$d_{v,S}$	[mm]	3,5	3,5	4,0	5,0	6,0
Diámetro pre-agujero ⁽²⁾	$d_{v,H}$	[mm]	4,0	4,0	5,0	6,0	7,0

⁽¹⁾ Pre-agujero válido para madera de conífera (softwood).

⁽²⁾ Pre-agujero válido para maderas duras (hardwood) y para LVL de madera de haya.

PARÁMETROS MECÁNICOS CARACTERÍSTICOS

Diámetro nominal	d_1	[mm]	5,3	5,6	7	9	11
Resistencia a la tracción	$f_{tens,k}$	[kN]	11,0	12,3	15,4	25,4	38,0
Resistencia al esfuerzo plástico	$f_{y,k}$	[N/mm ²]	1000	1000	1000	1000	1000
Momento de esfuerzo plástico	$M_{y,k}$	[Nm]	9,2	10,6	14,2	27,2	45,9

			madera de conífera (softwood)	LVL de conífera (LVL softwood)	LVL de haya pre-perforada (beech LVL predrilled)
Parámetro de resistencia a extracción	$f_{ax,k}$	[N/mm ²]	11,7	15,0	29,0
Densidad asociada	ρ_a	[kg/m ³]	350	500	730
Densidad de cálculo	ρ_k	[kg/m ³]	≤ 440	410 ÷ 550	590 ÷ 750

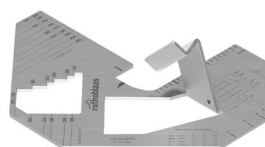
Para aplicaciones con materiales diferentes consultar ETA-11/0030.

CÓDIGOS Y DIMENSIONES

d ₁ [mm]	CÓDIGO	L [mm]	b [mm]	unid.
5,3 TX 25	VGZEVO580	80	70	50
	VGZEVO5100	100	90	50
	VGZEVO5120	120	110	50
5,6 TX 25	VGZEVO5140	140	130	50
	VGZEVO5150	150	140	50
	VGZEVO5160	160	150	50
7 TX 30	VGZEVO780	80	70	25
	VGZEVO7100	100	90	25
	VGZEVO7120	120	110	25
	VGZEVO7140	140	130	25
	VGZEVO7160	160	150	25
	VGZEVO7180	180	170	25
	VGZEVO7200	200	190	25
	VGZEVO7220	220	210	25
	VGZEVO7240	240	230	25
	VGZEVO7260	260	250	25
	VGZEVO7280	280	270	25
	VGZEVO7300	300	290	25
	VGZEVO7340	340	330	25
	VGZEVO7380	380	370	25
	9 TX 40	VGZEVO9160	160	150
VGZEVO9180		180	170	25
VGZEVO9200		200	190	25
VGZEVO9220		220	210	25
VGZEVO9240		240	230	25
VGZEVO9260		260	250	25
VGZEVO9280		280	270	25
VGZEVO9300		300	290	25
VGZEVO9320		320	310	25
VGZEVO9340		340	330	25
VGZEVO9360	360	350	25	
VGZEVO9380	380	370	25	
VGZEVO9400	400	390	25	
VGZEVO9440	440	430	25	
VGZEVO9480	480	470	25	
VGZEVO9520	520	510	25	

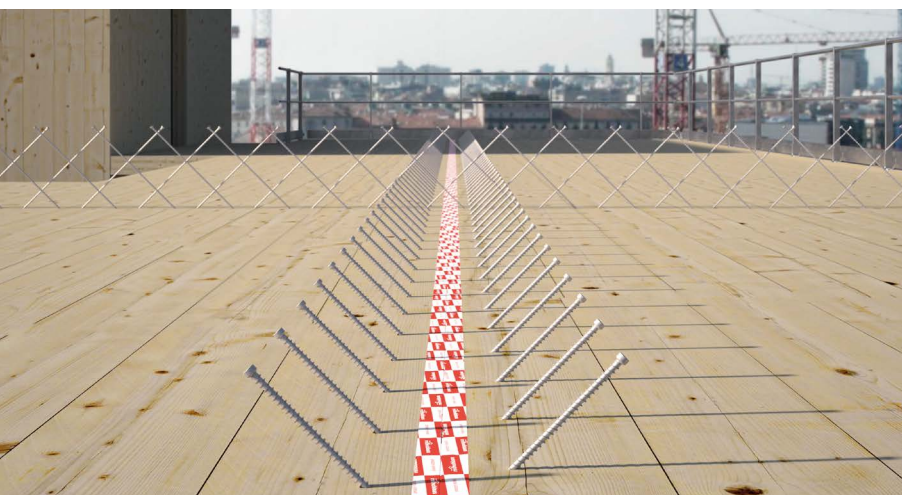
d ₁ [mm]	CÓDIGO	L [mm]	b [mm]	unid.
	VGZEVO11250	250	240	25
	VGZEVO11300	300	290	25
	VGZEVO11350	350	340	25
	11 TX 50 VGZEVO11400	400	390	25
	VGZEVO11450	450	440	25
	VGZEVO11500	500	490	25
	VGZEVO11550	550	540	25
	VGZEVO11600	600	590	25

PRODUCTOS RELACIONADOS



JIG VGZ 45°
PLANTILLA PARA TORNILLOS
A 45°

pág. 409



PRESTACIONES ESTRUCTURALES EN EL EXTERIOR

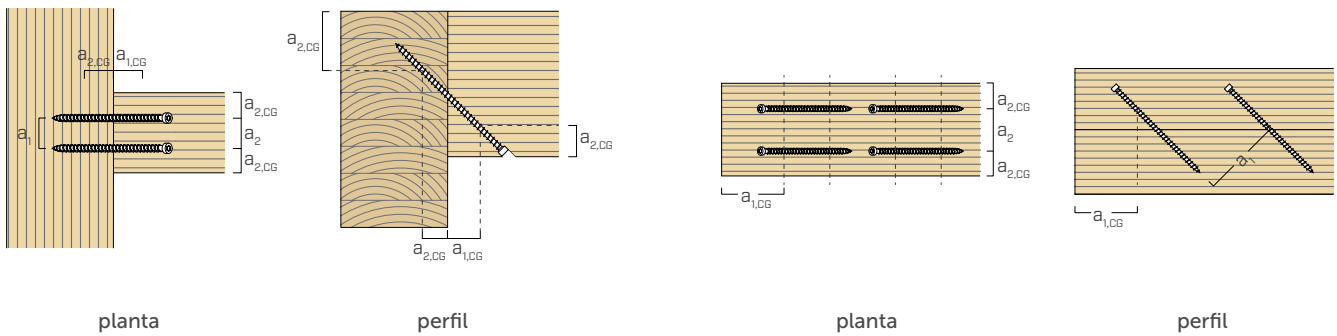
Valores ensayados, certificados y calculados también para CLT y maderas de alta densidad como la madera microlaminada LVL. Ideal para fijar elementos de madera en ambientes exteriores agresivos (C4).

DISTANCIAS MÍNIMAS PARA TORNILLOS SOLICITADOS AXIALMENTE

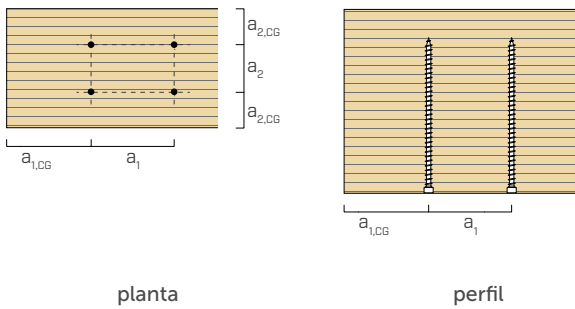
😊 tornillos insertados CON y SIN pre-agujero

d_1	[mm]		5,3	5,6	7	9	11
a_1	[mm]	5·d	27	28	35	45	55
a_2	[mm]	5·d	27	28	35	45	55
$a_{2,LIM}$	[mm]	2,5·d	13	14	18	23	28
$a_{1,CG}$	[mm]	10·d	53	56	70	90	110
$a_{2,CG}$	[mm]	4·d	21	23	28	36	44
a_{CROSS}	[mm]	1,5·d	8	8	11	14	17

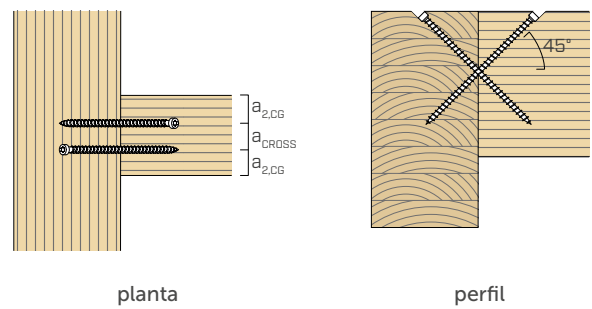
TORNILLOS EN TRACCIÓN INSERTADOS CON UN ÁNGULO α CON RESPECTO A LA FIBRA



TORNILLOS INSERTADOS CON UN ÁNGULO $\alpha = 90^\circ$ CON RESPECTO A LA FIBRA



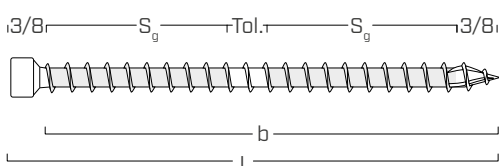
TORNILLOS CRUZADOS INSERTADOS CON UN ÁNGULO α CON RESPECTO A LA FIBRA



NOTAS

- Las distancias mínimas son conformes con ETA-11/0030.
- Las distancias mínimas son independientes del ángulo de inserción del conector y del ángulo de la fuerza respecto a la fibra.
- La distancia axial a_2 puede reducirse hasta $a_{2,LIM}$ si para cada conector se mantiene un "superficie de unión" $a_1 \cdot a_2 = 25 \cdot d_1^2$.
- Para uniones viga secundaria-viga principal con tornillos VGZ de $d = 7$ mm inclinados o cruzados, insertados con un ángulo de 45° con respecto a la cabeza de la viga secundaria, con una altura mínima de la viga secundaria igual a $18 \cdot d$, la distancia mínima $a_{1,CG}$ puede considerarse igual a $8 \cdot d_1$ y la distancia mínima $a_{2,CG}$ igual a $3 \cdot d_1$.

ROSCA EFICAZ DE CÁLCULO



$$b = S_{g,tot} = L - 10 \text{ mm}$$

representa toda la longitud de la parte roscada

$$S_g = (L - 10 \text{ mm} - 10 \text{ mm} - \text{Tol.})/2$$

es la semilongitud de la parte roscada, al neto de una tolerancia (tol.) de colocación de 10 mm

TRACCIÓN / COMPRESIÓN

geometría		TRACCIÓN / COMPRESIÓN								tracción acero	inestabilidad $\epsilon=90^\circ$
		extracción rosca total				extracción rosca parcial					
		$\epsilon=90^\circ$		$\epsilon=0^\circ$		$\epsilon=90^\circ$		$\epsilon=0^\circ$			
d_1 [mm]	L [mm]	$S_{g,tot}$ [mm]	A_{min} [mm]	$R_{ax,90,k}$ [kN]	$R_{ax,0,k}$ [kN]	S_g [mm]	A_{min} [mm]	$R_{ax,90,k}$ [kN]	$R_{ax,0,k}$ [kN]	$R_{tens,k}$ [kN]	$R_{ki,90,k}$ [kN]
5,3	80	70	90	4,68	1,41	25	45	1,67	0,50	11,00	6,20
	100	90	110	6,02	1,81	35	55	2,34	0,70		
	120	110	130	7,36	2,21	45	65	3,01	0,90		
5,6	140	130	150	9,19	2,76	55	75	3,89	1,17	12,30	6,93
	150	150	170	10,61	2,97	65	85	4,60	1,27		
	160	150	170	10,61	3,18	65	85	4,60	1,38		
7	80	70	90	6,19	1,86	25	45	2,21	0,66	15,40	10,30
	100	90	110	7,96	2,39	35	55	3,09	0,93		
	120	110	130	9,72	2,92	45	65	3,98	1,19		
	140	130	150	11,49	3,45	55	75	4,86	1,46		
	160	150	170	13,26	3,98	65	85	5,75	1,72		
	180	170	190	15,03	4,51	75	95	6,63	1,99		
	200	190	210	16,79	5,04	85	105	7,51	2,25		
	220	210	230	18,56	5,57	95	115	8,40	2,52		
	240	230	250	20,33	6,10	105	125	9,28	2,78		
	260	250	270	22,10	6,63	115	135	10,16	3,05		
	280	270	290	23,87	7,16	125	145	11,05	3,31		
300	290	310	25,63	7,69	135	155	11,93	3,58			
340	330	350	29,17	8,75	155	175	13,70	4,11			
380	370	390	32,70	9,81	175	195	15,47	4,64			
9	160	150	170	17,05	5,11	65	85	7,39	2,22	25,40	17,25
	180	170	190	19,32	5,80	75	95	8,52	2,56		
	200	190	210	21,59	6,48	85	105	9,66	2,90		
	220	210	230	23,87	7,16	95	115	10,80	3,24		
	240	230	250	26,14	7,84	105	125	11,93	3,58		
	260	250	270	28,41	8,52	115	135	13,07	3,92		
	280	270	290	30,68	9,21	125	145	14,21	4,26		
	300	290	310	32,96	9,89	135	155	15,34	4,60		
	320	310	330	35,23	10,57	145	165	16,48	4,94		
	340	330	350	37,50	11,25	155	175	17,61	5,28		
	360	350	370	39,78	11,93	165	185	18,75	5,63		
	380	370	390	42,05	12,61	175	195	19,89	5,97		
	400	390	410	44,32	13,30	185	205	21,02	6,31		
	440	430	450	48,87	14,66	205	225	23,30	6,99		
480	470	490	53,41	16,02	225	245	25,57	7,67			
520	510	530	57,96	17,39	245	265	27,84	8,35			
11	250	240	260	33,34	10,00	110	130	15,28	4,58	38,00	21,93
	300	290	310	40,28	12,08	135	155	18,75	5,63		
	350	340	360	47,22	14,17	160	180	22,22	6,67		
	400	390	410	54,17	16,25	185	205	25,70	7,71		
	450	440	460	61,11	18,33	210	230	29,17	8,75		
	500	490	510	68,06	20,42	235	255	32,64	9,79		
	550	540	560	75,00	22,50	260	280	36,11	10,83		
	600	590	610	81,95	24,58	285	305	39,59	11,88		

ϵ = ángulo entre tornillo y fibras

geometría		DESPLAZAMIENTO					CORTE			
		madera-madera			tracción acero	madera-madera	madera-madera $\epsilon=90^\circ$	madera-madera $\epsilon=0^\circ$		
d_1 [mm]	L [mm]	S_g [mm]	A [mm]	B_{min} [mm]	$R_{V,k}$ [kN]	$R_{tens,45,k}$ [kN]	A [mm]	S_g [mm]	$R_{V,90,k}$ [kN]	$R_{V,0,k}$ [kN]
5,3	80	25	35	50	1,18	7,78	40	25	1,99	1,03
	100	35	40	55	1,66		50	35	2,16	1,19
	120	45	45	60	2,13		60	45	2,32	1,37
5,6	140	55	55	70	2,75	8,70	70	55	2,69	1,59
	150	65	60	75	3,25		80	65	2,87	1,62
	160	65	60	75	3,25		80	65	2,87	1,64
7	80	25	35	50	1,56	10,89	40	25	2,59	1,34
	100	35	40	55	2,19		50	35	2,93	1,53
	120	45	45	60	2,81		60	45	3,15	1,74
	140	55	55	70	3,44		70	55	3,37	1,97
	160	65	60	75	4,06		80	65	3,59	2,06
	180	75	70	85	4,69		90	75	3,81	2,12
	200	85	75	90	5,31		100	85	4,03	2,19
	220	95	85	100	5,94		110	95	4,25	2,26
	240	105	90	105	6,56		120	105	4,30	2,32
	260	115	95	110	7,19		130	115	4,30	2,39
	280	125	105	120	7,81		140	125	4,30	2,46
	300	135	110	125	8,44		150	135	4,30	2,52
	340	155	125	140	9,69		170	155	4,30	2,65
	380	175	140	155	10,94		190	175	4,30	2,79
9	160	65	60	75	5,22	17,96	80	65	5,10	2,81
	180	75	70	85	6,03		90	75	5,38	3,08
	200	85	75	90	6,83		100	85	5,67	3,18
	220	95	85	100	7,63		110	95	5,95	3,27
	240	105	90	105	8,44		120	105	6,23	3,35
	260	115	95	110	9,24		130	115	6,50	3,44
	280	125	105	120	10,04		140	125	6,50	3,52
	300	135	110	125	10,85		150	135	6,50	3,61
	320	145	120	135	11,65		160	145	6,50	3,69
	340	155	125	140	12,46		170	155	6,50	3,78
	360	165	130	145	13,26		180	165	6,50	3,86
	380	175	140	155	14,06		190	175	6,50	3,95
	400	185	145	160	14,87		200	185	6,50	4,03
	440	205	160	175	16,47		220	205	6,50	4,21
480	225	175	190	18,08	240	225	6,50	4,38		
520	245	190	205	19,69	260	245	6,50	4,55		
11	250	110	95	110	10,80	26,87	125	110	8,35	4,57
	300	135	110	125	13,26		150	135	9,06	4,83
	350	160	130	145	15,71		175	160	9,06	5,09
	400	185	145	160	18,17		200	185	9,06	5,35
	450	210	165	180	20,63		225	210	9,06	5,61
	500	235	180	195	23,08		250	235	9,06	5,87
	550	260	200	215	25,54		275	260	9,06	6,13
	600	285	215	230	27,99		300	285	9,06	6,39

ϵ = ángulo entre tornillo y fibras

NOTAS y PRINCIPIOS GENERALES en la página 151.

CONEXIÓN AL CORTE CON CONECTORES CRUZADOS

VGZ EVO Ø7-9-11 mm

VALORES ESTÁTICOS en la página 130.

CONEXIONES CON ELEMENTOS DE CLT Y LVL

VGZ EVO Ø7-9-11 mm

VALORES ESTÁTICOS en la página 134.

VALORES ESTÁTICOS

PRINCIPIOS GENERALES

- Los valores característicos respetan la normativa EN 1995:2014 conforme con ETA-11/0030.
- La resistencia de proyecto a tracción del conector es la más pequeña entre la resistencia de proyecto de la madera ($R_{ax,d}$) y la resistencia de proyecto del acero ($R_{tens,d}$).

$$R_{ax,d} = \min \left\{ \begin{array}{l} \frac{R_{ax,k} \cdot k_{mod}}{Y_M} \\ \frac{R_{tens,k}}{Y_{M2}} \end{array} \right.$$

- La resistencia de proyecto a compresión del conector es la más pequeña entre la resistencia de proyecto de la madera ($R_{ax,d}$) y la resistencia de proyecto a la inestabilidad ($R_{ki,d}$):

$$R_{ax,d} = \min \left\{ \begin{array}{l} \frac{R_{ax,k} \cdot k_{mod}}{Y_M} \\ \frac{R_{ki,k}}{Y_{M1}} \end{array} \right.$$

- La resistencia de proyecto al deslizamiento del conector es la más pequeña entre la resistencia de proyecto lado madera ($R_{V,d}$) y la resistencia de proyecto lado acero proyectada a 45° ($R_{tens,45,d}$):

$$R_{V,d} = \min \left\{ \begin{array}{l} \frac{R_{V,k} \cdot k_{mod}}{Y_M} \\ \frac{R_{tens,45,k}}{Y_{M2}} \end{array} \right.$$

- La resistencia de proyecto al corte del conector se obtiene a partir del valor característico de la siguiente manera:

$$R_{V,d} = \frac{R_{V,k} \cdot k_{mod}}{Y_M}$$

- Los coeficientes Y_M y k_{mod} se deben tomar de acuerdo con la normativa vigente utilizada para el cálculo.
- Para los valores de resistencia mecánica y para la geometría de los tornillos se han tomado como referencia las indicaciones de ETA-11/0030.
- El dimensionamiento y el cálculo de los elementos de madera deben efectuarse por separado.
- Los tornillos deben colocarse con respecto a las distancias mínimas.
- Las resistencias características a la extracción de la rosca se han evaluado considerando una longitud de penetración igual a $S_{g,tot}$ o S_g , como se indica en la tabla. Para valores intermedios de S_g se puede interpolar linealmente. Se considera una longitud mínima de penetración igual a $4 \cdot d_1$.
- Los valores de resistencias al corte y al deslizamiento han sido evaluados mediante la colocación del baricentro del conector en correspondencia del plano de corte.
- Las resistencias características al corte se evalúan para tornillos insertados sin pre-agujero; en caso de tornillos insertados con pre-agujero, se pueden obtener valores de resistencia superiores.
- Para configuraciones de cálculo diferentes tenemos disponible el software MyProject (www.rothoblaas.es).

NOTAS

- Las resistencias características a la extracción de la rosca se han evaluado considerando tanto un ángulo ϵ de 90° ($R_{ax,90,k}$) como de 0° ($R_{ax,0,k}$) entre las fibras del elemento de madera y el conector.
- Las resistencias características al deslizamiento se han evaluado considerando un ángulo ϵ de 45° entre las fibras del elemento de madera y el conector.
- Las resistencias características al corte madera-madera se han evaluado considerando tanto un ángulo ϵ de 90° ($R_{V,90,k}$) como de 0° ($R_{V,0,k}$) entre las fibras del segundo elemento y el conector.
- En la fase de cálculo se ha considerado una masa volúmica de los elementos de madera equivalente a $\rho_k = 385 \text{ kg/m}^3$. Para valores de ρ_k diferentes, las resistencias indicadas en las tablas (extracción, compresión, deslizamiento y corte) pueden convertirse mediante el coeficiente k_{dens} :

$$R'_{ax,k} = k_{dens,ax} \cdot R_{ax,k}$$

$$R'_{ki,k} = k_{dens,ki} \cdot R_{ki,k}$$

$$R'_{V,k} = k_{dens,ax} \cdot R_{V,k}$$

$$R'_{V,90,k} = k_{dens,V} \cdot R_{V,90,k}$$

$$R'_{V,0,k} = k_{dens,V} \cdot R_{V,0,k}$$

ρ_k [kg/m ³]	350	380	385	405	425	430	440
C-GL	C24	C30	GL24h	GL26h	GL28h	GL30h	GL32h
$k_{dens,ax}$	0,92	0,98	1,00	1,04	1,08	1,09	1,11
$k_{dens,ki}$	0,97	0,99	1,00	1,00	1,01	1,02	1,02
$k_{dens,v}$	0,90	0,98	1,00	1,02	1,05	1,05	1,07

Los valores de resistencia determinados de esta manera pueden diferir, en favor de la seguridad, de los obtenidos mediante un cálculo exacto.